

心臓再同期療法（CRT）適応決定のための諸指標の解説（案）

日本超音波医学会用語・診断基準委員会

委員長 貴岡正史

循環器担当小委員会委員

委員長 竹中 克¹

委員 有田 武史²

瀬尾 由広³

古堅あづさ⁴

序

重症心不全の治療法として心臓再同期療法（CRT）の有用性は広く認知されている。本治療法の適応決定には、「非同期（dyssynchrony）」の存在を証明することが重要である。当初は心電図所見の完全左脚ブロックと QRS 幅が重要視されたが、これだけでは適応決定が万全ではない、すなわち本法が無効な症例も選択されてしまうことが問題となった。これに対する対策として、心エコー法、特に組織ドプラ法を使用し非同期の存在を証明する手段が多く報告された。しかし、手段の再現性と精度の問題に加えて治療の成否が非同期のみで決定されるわけではないことにより、単一の指標で本治療の適応決定は行うことが出来ないのが現状である。そのために、現在多くの指標が考案され、報告され続けているために、それらを取捨選択し、解説を加えることが必要と考えられるに至り、日本超音波医学会用語・診断基準委員会では、循環器領域担当小委員会として「心臓再同期療法（CRT）適応決定のための諸指標の解説」を作成した。本解説は、常に進歩し続けている「適応決定のための諸指標」を小委員会の見識と責任により、2009 年の時点で取捨選択し、まとめ上げてものであることを断っておく。それぞれの指標の解説に加えて、当該指標のエビデンスについても言及しているので、それらを参考に臨床の場で役立てていただければ幸いである。

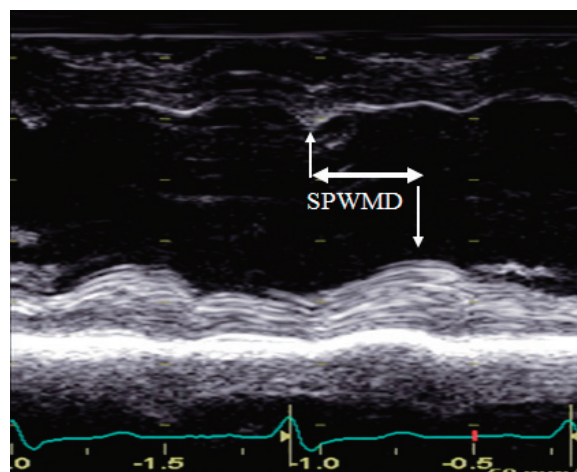


Fig. 1

1. 変位の指標

1) M モード心エコー SPWMD

【解説】SPWMD (septal-to-posterior wall motion delay) は、Pitzalis ら¹⁾により提唱された指標で、M モード心エコー法で計測される心室中隔と左室後壁の最大変位間の時間である (Fig. 1)。

【エビデンス】慢性期における左室収縮末期容積の 15 % 以上の減少を responder と定義した場合、SPWMD の cut-off 値は 130 msec で、これ以上の場合に responder となることが予測される。Pitzalis ら¹⁾の報告では、感度は 100 %、特異度は 63 % であったが、その後の研究²⁻⁴⁾においては、SPWMD の有用性は高くなく、感度は 24 – 63 %、特異度は 48 – 52 % と報告されている。測定可能率に関しても、Pitzalis ら¹⁾は 92 % と報告したが、Marcus ら²⁾によ

¹東京大学医学部附属病院検査部、²社会保険小倉記念病院、³筑波大学循環器内科、⁴東京女子医科大学循環器内科

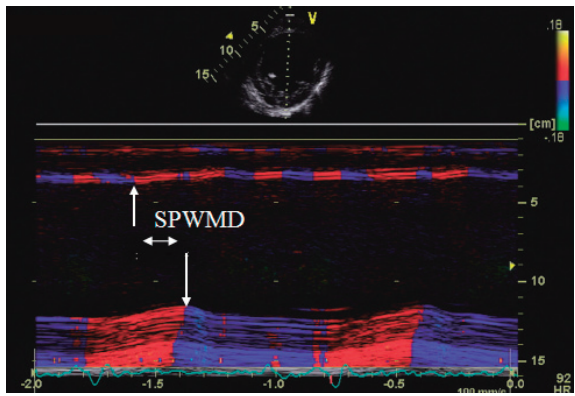


Fig. 2

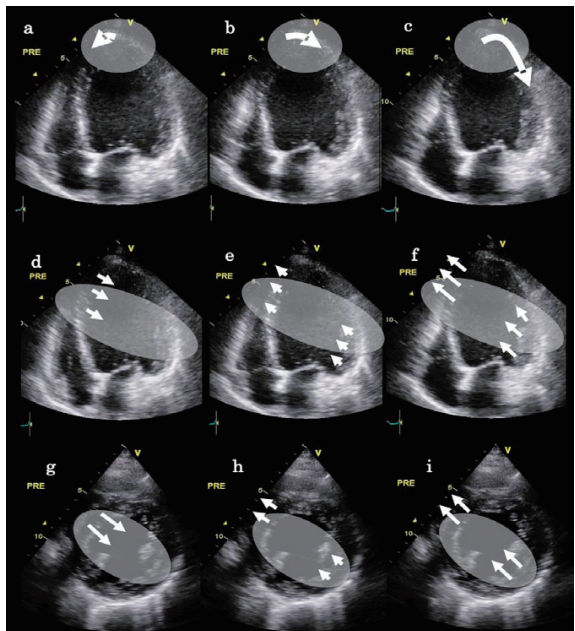


Fig. 3 Eyeballing の実際. a-c shuffle, d-f 新鮮部四腔断面での swinging motion, g-i 左室短軸断面での swinging motion

れば 45% ときわめて低い。PROSPECT study⁴⁾での測定可能率は 71% で、検者内測定誤差は 24.3%，検者間誤差は 72.1% であった。

以上、SPWMD は、①壁運動の解析部位が中隔と後壁に限定されていること、②中隔または後壁の壁運動の最大変位の同定が困難な例があること、の 2 点が問題点である。前者の問題点に関しては、任意方向 M モード心エコー図の使用により、測定可能率は 60% から 92% へと改善する⁵⁾。

2) M モードカラードプラ SPWMD

【解説】M モード心エコー図でなく、M モードカラードプラ法により SPWMD を計測する方法もある⁶⁾ (Fig. 2)。

【エビデンス】検者間の SPWMD 値の相関は、従来法では $r = 0.575$ に対して、M モードカラードプラ法では 0.929、検者内の相関では、従来法が $r = 0.714$ 、M モードカラードプラ法は 0.967 といずれも大幅に改善された。また、CRT 適応 (SPWMD > 130 ms) に関する検者間の不一致は、従来法が 26% に対して、M モードカラードプラ法は 2.3% であった。

3) 断層心エコー Eyeballing (肉眼判断)

【解説】肉眼で判断する場合には、Fig. 3 に示す三つの異常運動に注意する。心尖部四腔断面での shuffle motion と swinging motion、左室短軸断面での swinging motion である。Shuffle motion は、心尖部四腔断面にて心尖部周辺が側壁方向に回転する動きであり、非同期心に特異的な動きで、rocking motion, apical transverse motion, longitudinal rotation, swinging motion などと呼ばれることがある。収縮早期には一瞬素早く心室中隔方向に回転し、その後比較的ゆっくりと収縮末期まで左室側壁方向へ回転する。Swinging motion はいわゆる「押し合いへしあい」の動きで、左室短軸断面、心尖部四腔断面のいずれでも認識出来る。心室中隔は収縮早期に短時間左室内腔方向へ変位した後速やかに元に戻る (septal flash⁷⁾ または multiphasic septal motion⁸⁾)。中隔が右室方向へ変位する時には左室後側壁は左室内腔方向へ変位する。左室後側壁の内方変位の終了は左室全体の収縮末期よりもやや遅れる ("postsystolic shortening")。心尖部四腔断面においても同様であるが、この場合には心尖部寄りの中隔と基部寄りの左室側壁に注目する。

【エビデンス】Jansen ら⁸⁾は、shuffle motion 単独で CRT 後の reverse remodeling を感度 73% から 86%，特異度 75% から 88% で予測でき、eyeballing 評価でも十分であると報告した。また、shuffle 及び multiphasic septal motion のいずれかがあると感度 87% から 92%，特異度 75% から 81% と報告した。また、De Boeck ら⁹⁾はいずれかの異常運動があると感度 87%，特異度 47–52% で reverse remodeling が見られたと報告した。Jansen らの報告では対象 53 例中 26 例が虚血性で、LVEDV 254.5 ml, LVEF 22.0%，全て洞調律の LBBB，De Boeck らの報告も対象 41 例中 16 例が虚血性で、LVEDV 238.4 ml, LVEF 18.6%，全て洞調律の LBBB であった。

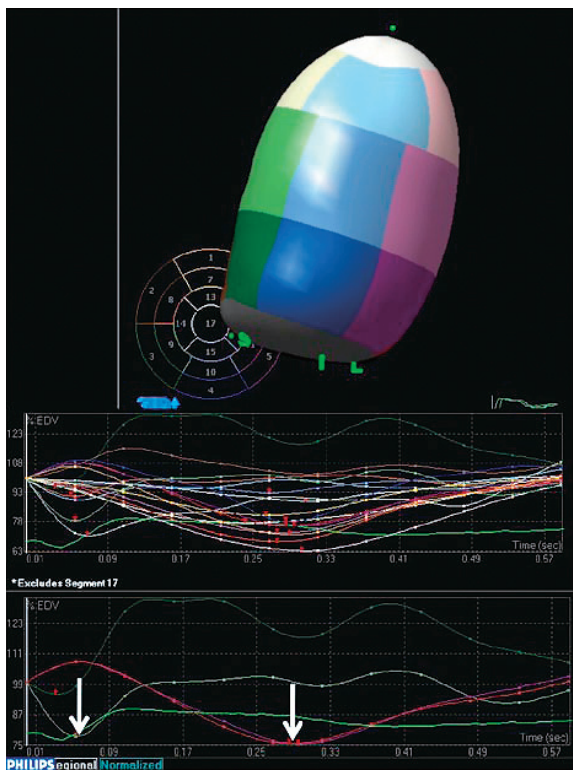


Fig. 4

4) 3D 心エコー Systolic Dyssynchrony Index

【解説】3D 心エコーから左室セグメント別の容積曲線を算出し dyssynchrony を評価出来るのは、現在のところ Philips の iE33 のみである (Fig. 4). それぞれの容積曲線が最小になる時間 time to minimum volume (Tmv) の apical cap (心尖端) を除く左室 16 セグメントでの標準偏差を求める、それを RR 間隔に対する % 表示したものを Systolic Dyssynchrony Index (SDI) と呼ぶ。SDI は RR で補正されるため、心拍数の影響を受け難い。こちらも変位 (左室心筋の変形は考慮しない) から算出される指標であるが、M モード心エコー法や組織ドプラによる変位の指標と異なり、左室 16 セグメントを検討している点がポイントである。

【エビデンス】Kapetanakis ら¹⁰⁾は、CRT 症例 26 例、非 CRT 症例 174 例、健常例 89 名で検討を行い、カットオフ値は出していないものの、術前 SDI が、responder では $16.1 \pm 5.1\%$ 、non-responder では $7.1 \pm 3.6\%$ ($p = 0.0005$) であったと報告した。Marsan ら¹¹⁾は CRT 症例 57 例で検討し、 $SDI > 6.4\%$ は感度 88% 特異度 85% で CRT のレスポンスを予測出来るとした。Soliman ら¹²⁾は CRT 症例 90 例を検討し、 $SDI > 10\%$ が感度 96%、特異度 88% で CRT

のレスポンスを予測出来るとした。

2. 速度の指標

1) 組織ドプラ Yu Index (SD of time to peak velocities of LV 12 segments)

【解説】心尖部四腔断面、心尖部長軸断面、心尖部二腔断面のいずれかの断面または全ての断面で、組織カラードプラ法を記録する（撮像条件：速度レンジ = ± 16 cm/s、フレームレート ≥ 100 Hz、ドップラビーム方向と心筋壁（測定領域）との角度 $< 30^\circ$ 、少なくとも連続 3 心拍の画像取り込み）。撮像した画像の各測定領域に関心領域を設定し、Fig. 5 のように時間 - 速度（長軸方向の移動速度）曲線を求める。心電図の QRS onset から「駆出期内の最大速度」までの時間 (Ts) を計測する (Fig. 5 a が中隔の Ts, b が側壁の Ts)。それぞれの測定領域で求めた Ts を用いるのは、1) から 3) の同期不全指標の全てに共通である。心室中隔・左室側壁（心尖部四腔断面）、前壁中隔・左室後壁（心尖部長軸断面）、前壁・下壁（心尖部二腔断面）の 6 領域を、心基部レベルと乳頭筋レベルのそれぞれで測定し、計 12 領域の Ts の標準偏差 (Ts-SD) が Yu index である。

【エビデンス】CRT 施行 3 カ月後に LVESV 15% 以上減少している場合に CRT responder と定義すると、初期の報告では感度・特異度ともに 100% であった¹³⁾が、後の検討では感度 87%，特異度 81% で responder を予測可能とした (Ts-SD = 34.4 ms が cut-off 値)¹⁴⁾。しかし、PROSPECT study⁴⁾にて、Ts-SD は 50% の症例でしか測定することが出来ず、intraobserver variability が 11.4%，interobserver variability 33.7% とその誤差は大きく、reverse remodeling 予測においても感度 78%，特異度 31% (AUC 0.55, $p = 0.35$) とシングルセンターで検証されてきた結果とは大きくかけ離れたものであった。本指標の問題点¹⁵⁻¹⁸⁾として以下が挙げられる。

- ①測定が多点に及び煩雑であること
- ②Ts の測定を駆出期に限定していること
- ③intraobserver と interobserver variability が大きいこと
- ④正常例においても Ts-SD > 34.4 ms を有する例を認めることがあること
- ⑤陽性的中率が低いこと

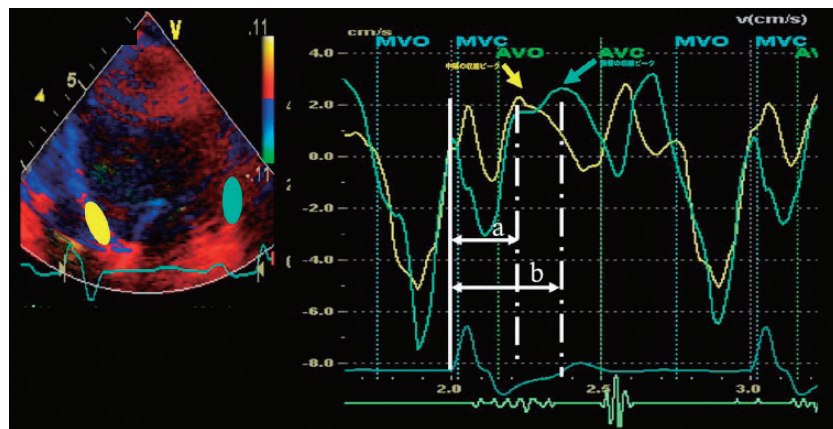


Fig. 5

2) 組織ドプラ Bax Index (maximum delay of peak velocity among basal 4 segments)

【解説】心基部レベルの中隔・側壁（心尖部四腔断面）及び前壁・下壁（心尖部二腔断面）の4領域のTsの最小値と最大値の差（maximum delay）がBax indexである。最小値は中隔で、最大値は側壁で得られることが多い。

【エビデンス】CRT施行3ヵ月後にLVESV 15%以上減少している場合にCRT responderと定義すると、maximum delay = 65 ms（実質的には中隔と側壁間のdelay）をcut-off値とし感度92%，特異度92%でresponderを予測可能と報告されている¹⁹⁾。Reverse remodeling予測のみではなく、本指標を用いてCRT施行後の心血管イベントを層別化出来ると報告されている²⁰⁾。PROSPECT study⁴⁾ではreverse remodeling予測においてAUC 0.61（cut off値 = 60 ms, p = 0.012），と組織ドプラ法を用いた指標の中では最大であったものの感度52.6%，特異度69.2%と振るわず、心電図指標を上回るものではなかった。評価領域が4箇所のみで簡便な方法であるが、評価領域が少ないことが本指標の限界ともなり得る。

3) 組織ドプラ Gorcsan Index (delay of peak velocity between the opposite 2 segments)

【解説】心基部レベルの前壁中隔と後壁（心尖部長軸断面）2領域のTsの差がGorcsan indexである。

【エビデンス】CRT施行48時間後にstroke volumeが15%以上増加している場合にCRT responderと定義すると、65 msをcut-off値とし感度87%，特異度100%でresponder（急性効果）を予測可能とした²¹⁾。本指標の限界として、responder判定が急性

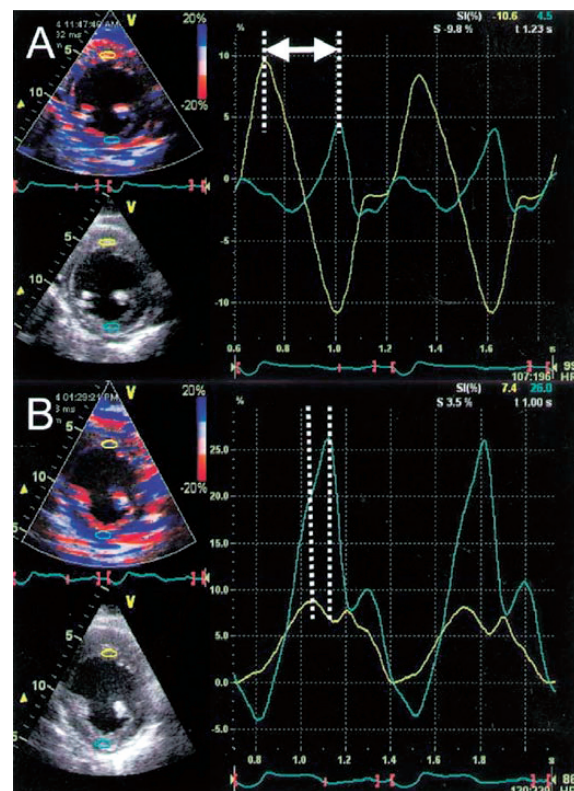


Fig. 6

期であり、慢性効果を十分に予測し得ないことが挙げられたが、全29症例中12例では慢性期（5±2ヵ月）の変化についても評価され、急性期にnon-responderであった7例中5例がLVESV 15%以上の減少を示すresponderになったと報告されている。

3. Strain の指標

1) 組織ドプラ Tissue Doppler Radial Strain Delay Index

【解説】Speckle trackingによるstrain解析が一般

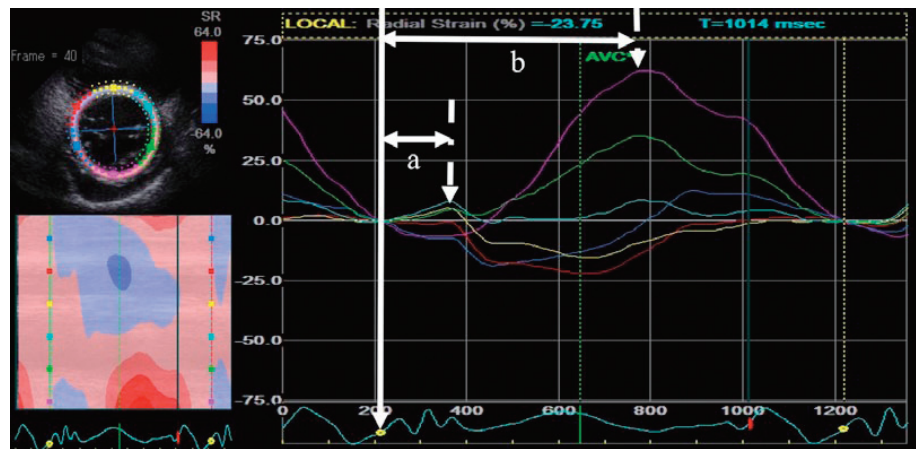


Fig. 7

的でなかつた頃に、Dohi²²⁾らは組織ドプラにより計測した左室壁 radial strain により CRT のレスポンスを予測可能であると報告した。胸骨左縁左室短軸断面において組織カラードプラを記録し、左室前壁と後壁に ROI を設定し、速度情報から計算した radial strain 曲線を得る。両曲線のピークの時間的ずれをもって Radial Strain Delay Index とする (Fig. 6)。

Fig. 6 では CRT により値が改善している (A → B)。

【エビデンス】 Dohi²²⁾らは、この数値が 130 ms 以上であり、左室リードが後側壁に位置していれば、急性期 (CRT 施行翌日) の心拍出量の 15% 以上の増加を感度 95%，特異度 88% で予測可能と報告した。しかし、組織ドプラ法は超音波入射角度の影響を強く受けるために、多数のセグメントの評価は困難で、角度依存性の少ない speckle tracking 法登場以降はこの指標を検討した論文は無い。

2) スペックルトラッキング法 Speckle Tracking

Radial Strain Delay Index

【解説】 胸骨左縁左室短軸断面（乳頭筋レベル）をスペックルトラッキング法で解析し、時間 - radial strain 曲線を得、心電図の QRS onset から最大 strain 値までの時間の前壁中隔 (Fig. 7 a) と後壁 (Fig. 7 b) の差を計算する (Speckle Tracking Radial Strain Delay Index)。スペックルトラッキング法の撮像条件として、①内膜面の描出が良好となるようゲイン調整を行うこと、②フレームレートは 60 - 80 Hz を保つこと、③少なくとも連続 3 心拍の画像取り込みを行うこと、が推奨される。時間 - radial strain 曲線の解析は以下のように行う。①撮像した画像を、収縮末期の時相で心内膜面のトレースをす

る。特に中隔の心内膜トレースを丁寧に行う。②心内膜トレース後に、関心領域を心外膜にあわせて設定する。③セミオートに解析され、時間 - radial strain 曲線が得られる。④ QRS onset から各領域の最大 strain 値までの時間を求め、領域間の時間差を求める。

【エビデンス】 本指標が 130 ms であれば、CRT 施行 48 時間後に心拍出量 15% 以上の増加を、感度 91%，特異度 75% で予測可能と報告した²³⁾。また、CRT 施行 3 カ月後に LVEF が 15% 以上増加している場合を CRT responder と定義すると、cut off 値 130 ms で感度 89%，特異度 83% で responder を予測可能と報告した²³⁾。本法は組織ドプラ法に比し角度依存性が少ないこと、intraobserver 及び interobserver variability が少ないことが利点として挙げられる。一方、断層心エコー図画像の質に左右されること、拡大心を対象とするため十分な frame rate を得ることが困難な場合があることが限界点に挙げられる。本法と組織ドプラ法を用いた指標を組み合わせた方が、より良く responder を予測出来るとの報告がある²⁴⁾。CRT 施行 6 カ月後に LVEF が 15% 以上増加している場合を responder と定義すると、組織ドプラ法で中隔と側壁の時相差が 60 ms を cut-off 値とすると感度 72%，特異度 77% であり、全 12 領域における最大時相差が 65 ms を cut-off 値とすると感度 84%，特異度 76%，Yu index を用いた場合、cut-off 値 32 ms で感度 80%，特異度 78% であった。Speckle Tracking Radial Strain Delay Index を用い、cut-off 値 130 ms とすると感度 84%，特異度 73% であった。中隔と側壁の時相差 = 60 ms (AUC

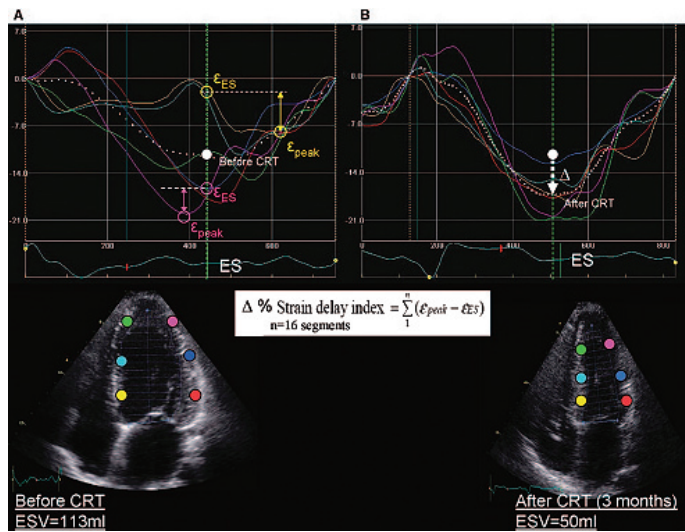


Fig. 8

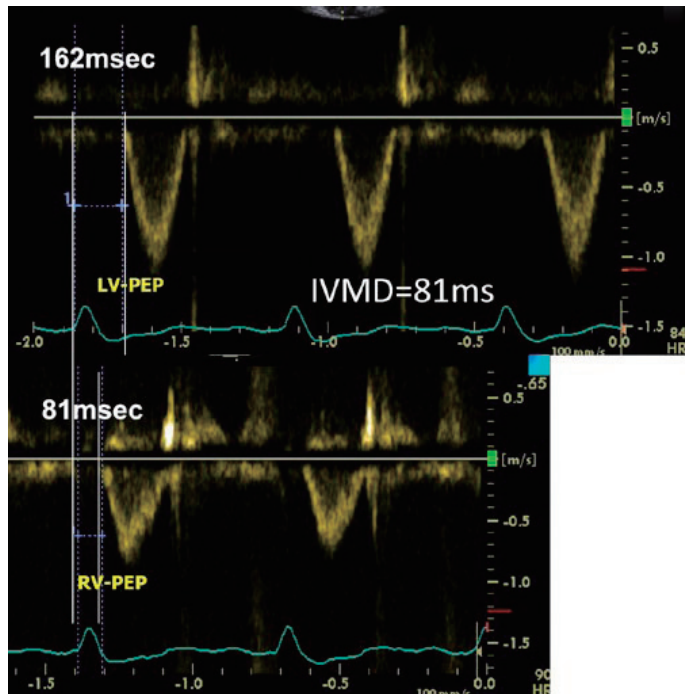


Fig. 9

= 0.775) と Speckle Tracking Radial Strain Delay Index = 130 ms (AUC = 80.5) の cut-off 値を用いた複合指標では、感度 88 %、特異度 80 % であり、AUC = 84.6 と単独指標を用いるよりも改善されることが報告された²⁴⁾。

3) スペックルトラッキング法 Speckle Tracking Longitudinal Strain Delay Index

【解説】心尖部断面をスペックルトラッキング法で解析し、各領域の最大 longitudinal strain 値と収縮末期 longitudinal strain 値の差の左室 16 領域での

総和が Speckle Tracking Longitudinal Strain Delay Index (SDI) である (Fig. 8)。最大 longitudinal strain 値は全心周期を対象とする (すなわち、収縮期、拡張期を問わない)。収縮末期時の strain 値と最大 strain 値の差は各領域の無駄に使用されたエネルギー (wasted energy) を表現し収縮寄与度を評価している。寄与していない領域が多く、ストレイン値の差が大きいほど本指標は大となる (仮に最大 strain 値が全ての領域で収縮末期に得られるならば、本指標はゼロとなる)。瘢痕・纖維化組織部位の strain 値

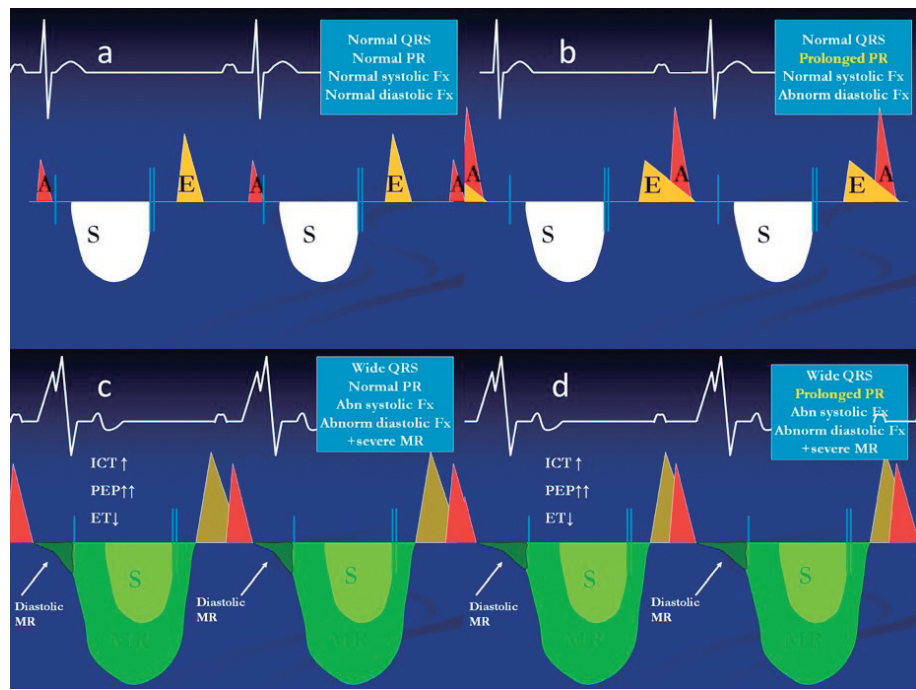


Fig. 10

の差は小さくなることから、非虚血性のみならず虚血性心疾患の場合も CRT 効果予測において、これまでの各指標よりもより良い応用の可能性が期待出来る。

【エビデンス】 SDI $\geq 25\%$ であれば CRT 施行 3 カ月の左室収縮末期容積 15% 減少を感度 95%，特異度 83% で予測可能と報告している²⁵⁾。本法は生じ得るエネルギーに対し、消費の非効率性を間接的に評価していると考えられる。

4. 血流の指標

1) 血流ドプラ Interventricular Dyssynchrony

【解説】 Interventricular dyssynchrony（心室間非同期）は右室と左室の収縮弛緩のタイミングのずれのこと、簡便な指標としては両心室の駆出血流速度波形のタイミングのずれが使用される。但し、心室の等容収縮期、等容弛緩期、充満期に関する同期性はこの指標では得られない。具体的には、パルスドプラ法により左室流出路（心尖部左室長軸断面または五腔断面にて）及び右室流出路（傍胸骨大動脈弁レベル短軸断面または右室流出路断面にて）血流速度波形を記録する。QRS 起始からそれぞれの駆出血流の起始までの時間を計測する (Fig. 9)。これらが LV-PEP と RV-PEP (preejection period: 前駆出時間) で、両者の差が IVMD (interventricular

mechanical delay: 心室間の機械的ずれ) である (Fig. 9)。IVMD が大きいほど、左室が右室より遅く興奮・収縮することになり、IVMD > 40 ms または LV-PEP > 140 ms を interventricular dyssynchrony と定義する²⁶⁾。ここで忘れてならないのは、PEP が心室収縮能と後負荷の影響を受けるために、純粋に伝導遅延、非同期だけを表現している訳ではない点である。

【エビデンス】 Wiesbauer ら²⁷⁾は 200 例の CRT 症例の解析で、LV-PEP 及び IVMD の有用性を再確認した。また、Richardson ら²⁸⁾は CARE-HF のサブ解析ではあるが、IVMD > 49 ms が CRT に対するレスポンスの予測因子であると報告した（但し、CARE-HF に登録されている患者はある種の dyssynchrony を有する集団でありこの数値はそのまま心不全全体に当て嵌めることは出来ない）。一方、心室内非同期指標と比較して LVPEP、IVMD はいずれも有力な予測因子ではないとする報告も散見される^{11, 12)}。

2) 血流ドプラ Atrio-ventricular Dyssynchrony

【解説】 洞調律例の心室充満は、拡張早期急速流入 (E 波) と拡張末期心房収縮 (A 波) の二峰性である (Fig. 10)。E 波と A 波が十分に分離していれば、E 波開始から A 波終了までの充満時間 (filling time: FT) は確保される (Fig. 10 a)。PR 間隔が延長す

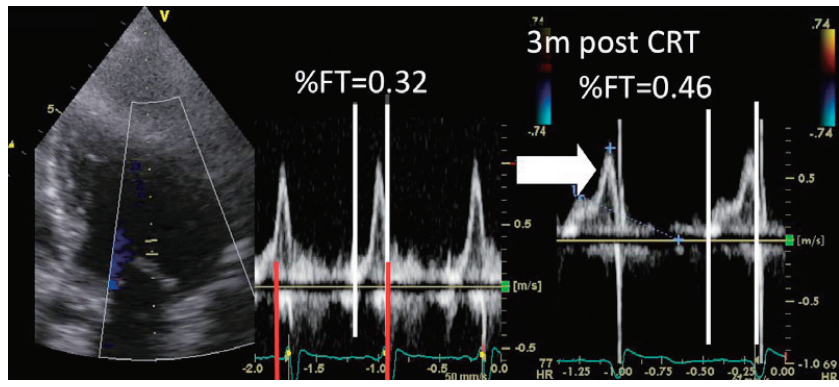


Fig. 11

ると、A 波が早く起こるため、E 波と A 波が融合する (Fig. 10 b). また、不全心では等容弛緩時間の延長により E 波は遅れ、A 波と融合し、心室充満が不十分になり得る (Fig. 10 c). この等容弛緩時間の延長に PR 間隔延長が加わると、E 波と A 波の融合はさらに顕著となる (Fig. 10 d). E 波と A 波の融合、言い換えると FT の短縮が、心房心室間非同期 (atrio-ventricular dyssynchrony) で、心室充満が不十分になり、左室前負荷が減少してしまう。また、重症の僧帽弁逆流例では、「拡張期の」僧帽弁逆流が FT 短縮により増強される可能性がある (Fig. 10 c, d). RR 時間にに対する FT の割合 (%FT) により CRT に対するレスポンスを予測出来るとする報告がある²⁶⁾. 典型的には CRT 施行後%FT は延長する (Fig. 11).

【エビデンス】Cazeau ら²⁶⁾は CRT 症例 66 例で、%FT を含む非同期の諸指標を検討し、%FT < 40% が CRT に対するレスポンスを予測出来たと報告した。しかし、その後の幾つかの研究では%FT の有用性を示す研究は少なく、PROSPECT⁴⁾においても ROC 解析で AUC = 0.57 という結果であった。%FT は再現性が高く、この AV dyssynchrony の概念は簡便で、CRT 前予測よりも CRT 後の optimization により重要な概念である。

5. 心室全体の機能の指標

1) QRS 時間

ガイドラインでは QRS 時間 130 (もしくは 120) ms 以上の中室内伝導障害を有することが CRT 適応の必要条件である。QRS 時間と心エコーによる左室壁運動の機械的同期不全の間には相関が見られず、QRS 時間が 120 ms 未満の症例の約 3 割に機

械的同期不全が認められ、一方 150 ms 以上の症例の約 3 割に同期不全が認められない^{29, 30)}. さらに、心エコーによる CRT の効果判定予測を行った研究で、responder と non-responder の間に QRS 時間の差は認められなかった^{1, 19, 31)}. このため、心エコーによる心室壁運動の機械的同期不全評価が注目されてきたが、CRT の生命予後に関するランドマークトライアルである Multicenter In Sync Randomized Clinical Evaluation (MIRACLE) 試験³²⁾、Comparison of Medical Therapy, Pacing, and Defibrillation in Heart Failure (COMPANION) 試験³³⁾ 及び Cardiac Resynchronization-Heart Failure (CARE-HF) 試験³⁴⁾において、心エコーによる機械的同期不全の有無は適応基準に含まれていない。唯一 CARE-HF 試験において、QRS 時間が 120 から 149 ms の症例に限って心エコーによる同期不全の評価が課せられたのみである。QRS 時間に優る心エコー指標が確立されていない現状では、QRS 時間は CRT 適応に関する左室内同期不全を裏付ける唯一の基準である³⁵⁾.

2) 左室流入血流速波形 E/A

左室流入血流速波形 E/A 比による CRT レスponder 予測に関する報告では、CRT 前の拘束性流入障害の存在は CRT 後の予後予測の規定因子であると報告されている^{36, 37)}. 一方、CRT 後にその急性及び慢性効果によって収縮機能が改善する症例では左室流入血流速波形が拘束性もしくは偽正常化パターンから弛緩障害パターンに改善し E/A が低下する^{38, 39)}. したがって、CRT 症例における左室流入血流速波形の経時的な記録は CRT に対する response を判断する上で有用である。

3) Tei Index (Myocardial performance index)

Sutton ら⁴⁰⁾ は Multicenter In Sync Randomized

Clinical Evaluation (MIRACLE) trial に参加した症例の CRT 後 12 カ月の観察研究において Tei-index を計測した。CRT により 6 カ月及び 12 カ月後の左室収縮末期容量は CRT 前よりも低下しており、Tei-index も 1.06 ± 0.65 から 6 カ月後 0.86 ± 0.33 ($p < 0.05$ vs CRT 前), 12 カ月後 0.86 ± 0.34 ($p < 0.05$ vs CRT 前) と改善した。以上より、CRT により左室効率が改善していることが示された。また、Soliman ら⁴¹⁾は CRT 後の心事故発生と Tei index との関連を検討した。CRT 前の Tei index は 0.92 ± 0.31 で両群に差を認めなかったものの、CRT 3 カ月後の Tei index はイベント発症群で有意に大きく (0.92 ± 0.34 vs 0.64 ± 0.30 $P < 0.001$)、Tei index の改善が認められないとイベント発生が関連している (Hazard ratio 32.2 $p < 0.001$) ことを示した。

Yuasa ら⁴²⁾は CRT 前、1 日後、6 カ月後に両心室の Tei Index を計測し、responder (左室収縮末期容量 10% 減少) と non responder の比較を行った。左室・右室ともに Tei index は CRT により 1 日後に前と比較し有意に減少し、6 カ月後にも減少が認められた。Responder は前の左室 Tei index が nonresponder に比べ有意に大 (0.77 ± 0.16 , 0.58 ± 0.22 , $P = 0.003$) であり、6 カ月後の Tei index は有意に減少していた。一方、nonresponder では 6 カ月後の Tei index は CRT 前と変化が認められなかった。CRT 前の左室 Tei index は CRT 後の左室収縮末期容量低下率の独立した規定因子であった。また、左室 Tei index の変化率は CRT 後の左室収縮末期容量低下率と有意な負の相関を認めた ($r = 0.43$, $p = 0.006$)。一方、右室 Tei index は CRT 前には 2 群間で同等だが、CRT 後慢性期には responder においてのみ改善が認められた。

4) 左室径

Díaz-Infante ら⁴³⁾は左室拡張末期径 75 mm 以上に拡大した症例は、CRT non-responder の独立規定因子であると報告した ($p = 0.026$, OR = 3.1)。この研究では僧帽弁逆流の存在も CRT non-responder の規定因子であり、CRT non-responder の左室拡大は僧帽弁逆流と関連した著明な左室リモデリングの結果と考えられている。また、Gradaus ら³⁷⁾は左室収縮末期径が CRT non-responder の独立規定因子であると報告した ($p = 0.009$, OR = 7.83)。この研究では拘束性流入障害と肺動脈楔入圧も non-responder の規定因子であったことから、左室拡大による wall

stress の増大が左室拡張障害と関連している可能性を示唆している。

5) 僧帽弁逆流

CRT により機能性僧帽弁逆流 (MR) は、急性期及び中期的には改善すると報告されている。急性期に改善するメカニズムは左室乳頭筋収縮を含めた再同期と収縮機能改善による僧帽弁閉鎖力の増大である。一方、MR は CRT 症例の 3 分の 1 に認められたが、慢性期まで改善しない MR の存在は予後と関連し、CRT のレスポンス率が 50% 程度と低く、予後不良因子である⁴⁴⁾。その原因として左室リモデリングによる tethering の影響が示唆されている。Sitges M ら⁴⁵⁾は 151 例の CRT 症例において、CRT 後急性期、6 カ月及び 12 カ月に僧帽弁形態、左室リモデリング、左室同期性の機能性 MR に及ぼす影響について検討した。治療前に ERO 0.10 cm^2 以上の MR を認めた 57 例の平均では逆流弁口面積は急性期に 18%, 12 カ月後に 38% 減少した。12 カ月後には 48% の症例で有意な MR の減少が認められ、主に MR 改善例において ESV の縮小、tenting area の縮小、左室非同期 (septal-lateral delay) の改善が認められた。しかし、MR 非改善例では 12 カ月後の左室非同期や僧帽弁形態に CRT 前と有意な差異が認められなかった。CRT 前の tenting area は MR 改善の独立規定因子であり、tenting area $> 3.8 \text{ cm}^2$ を基準とすると CRT により有意な MR の改善が認められないことを感度 53%, 特異度 89% で予測した。すなわち、僧帽弁 tethering が高度で tenting area が非常に大きな症例では CRT では長期の左室の reverse remodeling が見込めない可能性がある。

以上、単一の指標で CRT responder を予測することは難しい。末尾に代表的指標のまとめを示すので、参考にしていただきたい (Table)。

Table

	指標	著者・文献	Responderの定義	Responders	Cut-off値	感度	特異度	Interobserver variability	Intraobserver variability	経過観察期間	QRS幅	心房細動	LVEDV	LV EF	虚血性 CLBBB	
SPWMD	Pitzalis ¹⁾	$\Delta LVEF > 15\%$	60%	130ms	100%	63%	—	—	—	1ヶ月	20 > 140ms	0%	index 150 ± 53ml	24 ± 5%	49%	
SPWMD	Marcus ²⁾	$\Delta LVEF > 15\%$	—	130ms	24%	66%	—	—	—	6ヶ月	79 > 120ms	paf 16%	—	22 ± 7%	72%	
SPWMD	PROSPECT ⁴⁾	$\Delta LVEF > 15\%$	56%	130ms	64%	52%	24%	72%	72%	6ヶ月	498 > 130ms	—	230 ± 99ml	24 ± 7%	46%	
Eyeball	Jansen ⁸⁾	$\Delta LVEF > 10\%$	70%	—	87-92%	69-81%	11 ± 4%	6 ± 2%	3ヶ月	53 > 120ms	0%	254 ± 86ml	22 ± 7%	49%	100%	
Eyeball	De Boeck ⁹⁾	$\Delta LVEF > 15\%$	59%	—	88%	47-53%	—	—	—	6ヶ月	41 ≥ 130ms	0%	238 ± 81ml	19 ± 7%	39%	100%
Systolic Dyssynchrony Index	Marsan ¹¹⁾	$\Delta LVEF > 15\%$	63%	0.056	88%	86%	mean difference	mean difference	48時間	56 > 120ms	0%	201 ± 48ml	28 ± 6%	58%	66%	
Systolic Dyssynchrony Index	Soliman ¹²⁾	$\Delta LVEF > 15\%$	76%	10%	96%	88%	11%	0.1 ± 1%	0.03 ± 0.5%	—	12ヶ月	90 > 120ms	0%	232 ± 62ml	23 ± 4%	51%
Ts-SD	Yu ¹³⁾	$\Delta LVEF > 15\%$	57%	32.6ms	100%	100%	<5%	<5%	3ヶ月	30 > 140ms	0%	—	—	40%	57%	
Ts-SD	Yu ¹⁴⁾	$\Delta LVEF > 15\%$	54%	34.4ms	87%	81%	6%	4%	3ヶ月	56 > 120ms	0%	178 ± 75ml	26 ± 9%	50%	—	
Ts (maximum delay)	Bax ¹⁹⁾	$\Delta LVEF > 15\%$	74%	65ms	92%	92%	—	—	—	6ヶ月	85 ≥ 120ms	0%	258 ± 56ml	23 ± 7%	55%	100%
Ts (opposite segment)	Gorscan ²¹⁾	$\Delta SV > 15\%$	52%	65ms	65%	87%	6 ± 11%	4 ± 8%	48時間	29 > 130ms	0%	—	26 ± 6%	72%	—	
Radial Strain Delay Index	Dohi ²²⁾	$\Delta SV > 15\%$	55%	130ms	95%	88%	4 ± 4%	2 ± 2%	24時間	38 ≥ 130ms	0%	—	26 ± 8%	74%	39%	
Radial Strain Delay Index	Suffoletto ²³⁾	$\Delta LVEF > 15\%$	76%	130ms	89%	83%	6 ± 6%	8 ± 7%	3ヶ月	50 > 120ms	0%	—	26 ± 7%	62%	—	
Combined analysis	Gorscan ²⁴⁾	$\Delta LVEF > 15\%$	66%	SDI 130ms	88%	80%	—	—	—	6ヶ月	176 > 120ms	0%	—	23 ± 6%	60%	—
Longitudinal Strain Delay Index	Lim ²⁵⁾	$\Delta LVEF > 15\%$	64%	25%	95%	83%	6%	4%	3ヶ月	100 > 120ms	0%	231 ± 90ml	26 ± 9%	35%	—	
IVMD	Weisbauer ²⁷⁾	$\Delta EF > 15\%$, or $\Delta LVEF > 15\%$, or MR ↓ > 1grade	70%	60ms	20%	91%	—	—	—	10ヶ月	179 > 120ms	15%	—	26 ± 8%	27%	—
LV-PEP	Weisbauer ²⁷⁾	$\Delta EF > 15\%$, or $\Delta LVEF > 15\%$, or MR ↓ > 1grade	70%	140ms	28%	87%	—	—	—	10ヶ月	179 > 120ms	15%	—	26 ± 8%	27%	—

文 献

- 1) Pitzalis MV, Iacoviello M, Romito R, et al. Cardiac resynchronization therapy tailored by echocardiographic evaluation of ventricular asynchrony. *J Am Coll Cardiol* 2002;40:1615–22.
- 2) Marcus GM, Rose E, Viloria EM, et al. VENTAK CHF/CONTAK-CD Biventricular Pacing Study Investigators. Septal to posterior wall motion delay fails to predict reverse remodeling or clinical improvement in patients undergoing cardiac resynchronization therapy. *J Am Coll Cardiol* 2005;46:2208–14.
- 3) Diaz-Infante E, Sitges M, Vidal B, et al. Usefulness of ventricular dyssynchrony measured using M-mode echocardiography to predict response to resynchronization therapy. *Am J Cardiol* 2007;100:84–9.
- 4) Chung ES, Leon AR, Tavazzi L, et al. Results of the Predictors of Response to CRT (PROSPECT) trial. *Circulation* 2008;117:2608–16.
- 5) 酒巻文子, 濑尾由広, 石津智子, ほか. 左室内非同期検出における任意方向 M モード法の有用性. *J Cardiol Jpn Ed* 2009;4(1):20–8.
- 6) Sorrell VL, Ross WD, Gregoire J, et al. Color M-mode echocardiography is more reproducible than conventional M-mode echocardiography for septal-to-posterior wall motion delay measurements. *Echocardiography* 2008;25:821–6.
- 7) Parsai C, Bijnens B, Sutherland GR, et al. Toward understanding response to cardiac resynchronization therapy: left ventricular dyssynchrony is only one of multiple mechanisms. *Eur Heart J* 2009;30:940–9.
- 8) Jansen AH, van Dantzig J, Bracke F, et al. Qualitative observation of left ventricular multiphasic septal motion and septal-to-lateral apical shuffle predicts left ventricular reverse remodeling after cardiac resynchronization therapy. *Am J Cardiol* 2007;99:966–9.
- 9) De Boeck BW, Meine M, Leenders GE, et al. Practical and conceptual limitations of tissue Doppler imaging to predict reverse remodelling in cardiac resynchronization therapy. *Eur J Heart Fail* 2008;10:281–90.
- 10) Kapetanakis S, Kearney MT, Siva A, et al. Real-time three-dimensional echocardiography: a novel technique to quantify global left ventricular mechanical dyssynchrony. *Circulation* 2005;112:992–1000.
- 11) Marsan NA, Bleeker GB, Ypenburg C, et al. Real-time three-dimensional echocardiography as a novel approach to assess left ventricular and left atrium reverse remodeling and to predict response to cardiac resynchronization therapy. *Heart Rhythm* 2008;5:1257–64.
- 12) Soliman OI, Geleijnse ML, Theuns DA, et al. Usefulness of left ventricular systolic dyssynchrony by real-time three-dimensional echocardiography to predict long-term response to cardiac resynchronization therapy. *Am J Cardiol* 2009;103:1586–91.
- 13) Yu CM, Fung WH, Lin H, et al. Predictors of left ventricular reverse remodeling after cardiac resynchronization therapy for heart failure secondary to idiopathic dilated or ischemic cardiomyopathy. *Am J Cardiol* 2002;91:684–8.
- 14) Yu CM, Zhang Q, Fung JW, et al. A novel tool to assess systolic asynchrony and identify responders of cardiac resynchronization therapy by tissue synchronization imaging. *J Am Coll Cardiol* 2005;45:677–84.
- 15) Anderson LJ, Miyazaki C, Sutherland GR, et al. Patient selection and echocardiographic assessment of dyssynchrony in cardiac resynchronization therapy. *Circulation* 2008;117:2009–23.
- 16) Miyazaki C, Powell D, Bruce CJ, et al. Comparison of echocardiographic dyssynchrony assessment by tissue velocity and strain imaging in subjects with or without systolic dysfunction and with or without left bundle-branch block. *Circulation* 2008;117:2617–25.
- 17) De Boeck BW, Meine M, Leenders GE, et al. Practical and conceptual limitations of tissue Doppler imaging to predict reverse remodelling in cardiac resynchronization therapy. *Eur J Heart Fail* 2008;10:281–90.
- 18) Bax JJ, Gorcsan J 3rd. Echocardiography and noninvasive imaging in cardiac resynchronization therapy: results of the PROSPECT (Predictors of Response to Cardiac Resynchronization Therapy) study in perspective. *J Am Coll Cardiol* 2009;53:1933–43.
- 19) Bax JJ, Bleeker GB, Marwick TH, et al. Left ventricular dyssynchrony predicts response and prognosis after cardiac resynchronization therapy. *J Am Coll Cardiol* 2004;44:1834–40.
- 20) Zhang Q, van Bommel RJ, Fung JW, et al. Tissue Doppler velocity is superior to strain imaging in predicting longterm cardiovascular events after cardiac resynchronization therapy. *Heart* 2009;95:1085–90.
- 21) Gorcsan J 3rd, Kanzaki H, Bazaz R, et al. Usefulness of echocardiographic tissue synchronization imaging to predict acute response to cardiac resynchronization therapy. *Am J Cardiol* 2004;93:1178–81.
- 22) Dohi K, Suffoletto MS, Schwartzman D, et al. Utility of echocardiographic radial strain imaging to quantify left ventricular dyssynchrony and predict acute response to cardiac resynchronization therapy. *Am J Cardiol* 2005;96:112–6.
- 23) Suffoletto MS, Dohi K, Cannesson M, et al. Novel speckle-tracking radial strain from routine black-and-white echocardiographic images to quantify dyssynchrony and predict response to cardiac resynchronization therapy. *Circulation* 2006;113:960–8.
- 24) Gorcsan J 3rd, Tanabe M, Bleeker GB, et al. Combined longitudinal and radial dyssynchrony predicts ventricular response after resynchronization therapy. *J Am Coll Cardiol* 2007;50:1476–83.
- 25) Lim P, Buakhamsri A, Popovic ZB, et al. Longitudinal strain delay index by speckle tracking imaging: a new marker of response to cardiac resynchronization therapy. *Circulation* 2008;118:1130–7.
- 26) Cazeau S, Bordachar P, Jauvert G, et al. Echocardiographic modeling of cardiac dyssynchrony before and during multisite stimulation: a prospective study. *Pacing Clin Electrophysiol* 2003;26:137–43.
- 27) Wiesbauer F, Baytaroglu C, Azar D, et al. Echo Doppler parameters predict response to cardiac resynchronization therapy. *Eur J Clin Invest* 2009;39:1–10.
- 28) Richardson M, Freemantle N, Calvert MJ, et al. Predictors and treatment response with cardiac resynchronization therapy in patients with heart failure characterized by dyssynchrony: a pre-defined analysis from the CARE-HF trial. *Eur Heart J* 2007;28:1827–34.
- 29) Bleeker GB, Schalij MJ, Molhoek SG, et al. Relationship between QRS duration and left ventricular dyssynchrony in patients with end-stage heart failure. *J Cardiovasc Electrophysiol* 2004;15:544–9.

- 30) Ghio S, Constantin C, Klersy C, et al. Interventricular and intraventricular dyssynchrony are common in heart failure patients, regardless of QRS duration. *Eur Heart J* 2004;25:571–8.
- 31) Yu CM, Fung JW, Zhang Q, et al. Tissue Doppler imaging is superior to strain rate imaging and postsystolic shortening on the prediction of reverse remodeling in both ischemic and nonischemic heart failure after cardiac resynchronization therapy. *Circulation* 2004;110:66–73.
- 32) Abraham WT, Fisher WG, Smith AL, et al: MIRACLE Study Group. Cardiac resynchronization in chronic heart failure. *N Engl J Med* 2002;346:1845–53.
- 33) Bristow MR, Saxon LA, Boehmer J, et al: Comparison of Medical Therapy, Pacing, and Defibrillation in Heart Failure (COMPANION) Investigators. Cardiac-resynchronization therapy with or without an implantable defibrillator in advanced chronic heart failure. *N Engl J Med* 2004;350:2140–50.
- 34) Cleland JG, Daubert JC, Erdmann E, et al: Cardiac Resynchronization-Heart Failure (CARE-HF) Study Investigators. The effect of cardiac resynchronization on morbidity and mortality in heart failure. *N Engl J Med* 2005;352:1539–49.
- 35) Gorcsan J 3rd, Abraham T, Agler DA, et al: American Society of Echocardiography Dyssynchrony Writing Group. Echocardiography for cardiac resynchronization therapy: recommendations for performance and reporting a report from the American Society of Echocardiography Dyssynchrony Writing Group endorsed by the Heart Rhythm Society. *J Am Soc Echocardiogr* 2008;21:191–213.
- 36) Soliman OI, Theuns DA, ten Cate FJ, et al. Baseline predictors of cardiac events after cardiac resynchronization therapy in patients with heart failure secondary to ischemic or nonischemic etiology. *Am J Cardiol* 2007;100:464–9.
- 37) Gradaus R, Stuckenborg V, Löher A, et al. Diastolic filling pattern and left ventricular diameter predict response and prognosis after cardiac resynchronization therapy. *Heart*. 2008;94:1026–31.
- 38) Waggoner AD, Faddis MN, Gleva MJ, et al. Cardiac resynchronization therapy acutely improves diastolic function. *J Am Soc Echocardiogr* 2005;18:216–20.
- 39) Waggoner AD, Faddis MN, Gleva MJ, et al. Improvements in left ventricular diastolic function after cardiac resynchronization therapy are coupled to response in systolic performance. *J Am Coll Cardiol* 2005;46:2244–9.
- 40) Sutton MG, Plappert T, Hilpisch KE, et al. Sustained reverse left ventricular structural remodeling with cardiac resynchronization at one year is a function of etiology: quantitative Doppler echocardiographic evidence from the Multicenter InSync Randomized Clinical Evaluation (MIRACLE). *Circulation* 2006;113(2):266–72.
- 41) Soliman OI, Theuns DA, Ten Cate FJ, et al. Predictors of cardiac events after cardiac resynchronization therapy with tissue Doppler-derived parameters. *J Card Fail* 2007;13:805–11.
- 42) Yuasa T, Miyazaki C, Oh JK, et al. Effects of cardiac resynchronization therapy on the Doppler Tei index. *J Am Soc Echocardiogr* 2009;22:253–60.
- 43) Diaz-Infante E, Mont L, Leal J, et al: SCARS Investigators. Predictors of lack of response to resynchronization therapy. *Am J Cardiol* 2005;95:1436–40.
- 44) Kanzaki H, Bazaz R, Schwartzman D, et al. A mechanism for immediate reduction in mitral regurgitation after cardiac resynchronization therapy: insights from mechanical activation strain mapping. *J Am Coll Cardiol* 2004;44:1619–25.
- 45) Sitges M, Vidal B, Delgado V, et al. Long-term effect of cardiac resynchronization therapy on functional mitral valve regurgitation. *Am J Cardiol* 2009;104:383–8.